

(678) 低炭素低合金高張力鋼のオーステナイト結晶粒微細化と超塑性

立命館大学大学院 ○松村直己, 理工学部 時実正治

1. 緒言 低炭素ラスマルテンサイト(α)を室温で強加工した後, A_3 点直上の温度に急熱し短時間保持する方法がオーステナイト(γ)結晶粒微細化に極めて有効な加工熱処理方法であること, その際微量のNb添加が γ 結晶粒を一層微細化すること²⁾, またこの方法によ, て得た旧 γ 粒径の微細な α 組織の鋼を(γ フェライト(α)+ γ)2相域に加熱すると超微細2相組織を得たことをすでに報告した³⁾. 本研究は2,3のHSLA鋼について上述のようにして得られた(α + γ)2相組織の高温における超塑性について検討したものである

2. 実験方法 実験に用いた試料はTable 1.に示すごとく低炭素低合金高張力鋼(HSLA鋼)であり, 51材並べにKNb材は微量のNbを添加したものである. これらの鋼についてFig.1に示す加工熱処理を施し, いずれも旧 γ 粒径の微細な α 組織とした(Photo.1). Photo.2はこのような試片を(α + γ)2相域に加熱, 30min保持後急冷した組織の代表例で, 黒い部分が α , 白い部分が γ である. これより(α + γ)域加熱時の2相組織状態が推定される. Photo.1のごとき旧 γ 粒径の微細な α 組織の各種の試片を700~820°Cの種々の温度に昇温し30min保持後等温引張り試験(初期歪み速度 $\dot{\epsilon}$ 5×10^3 , 1×10^2 , 及び 5×10^0 /min)を行ない破断伸びを測定した. また種々の温度で歪み速度変換試験を行ない, その結果から歪み速度感受性指数(m)を求めた.

3. 実験結果 KNb材では780~800°Cの高温(α と γ の体積率では γ の割合が大ま)で伸びが大ま, $\dot{\epsilon}$ が小さい程よく伸びている(Fig.2). 51材では $\dot{\epsilon}$ が小さい 5×10^3 , 1×10^2 /min では α と γ がほぼ同体積あたりの温度域で伸びが大ま, $\dot{\epsilon}$ が大まくなるにつれ最高伸びは高温側へ移行する. KCI材では $\dot{\epsilon}$ が 5×10^3 /min のとまよりも 1×10^2 /min のとまの方が広い温度範囲にわた, て伸びが増加している(全伸びにして約400% \rightarrow 約650%). これらの各材料による超塑性変形挙動の相違は, 添加元素に微妙に関係していると思われる. また m 値については同一材料においてのみ全伸びと密接な関係をも, ていた.

- 1) M. Tobizane, N. Matsumura, K. Tsuzaki, T. Maki, I. Tamura : Metall. Trans. 13A (1982), P. 1379
- 2) 時実, 松村: 鉄と鋼 67 (1981) S. 1156
- 3) 松村, 時実: 鉄と鋼 69 (1983) S. 644

Table 1. Chemical composition of steels (wt%)

Steel	C	Si	Mn	P	S	Σ Al	Nb
51	0.05	0.01	2.26	0.005	0.003	0.035	0.027
KNb	0.15	0.19	1.16	0.019	0.006	0.014	0.014
KCI	0.16	0.34	1.29	0.019	0.006	0.030	—

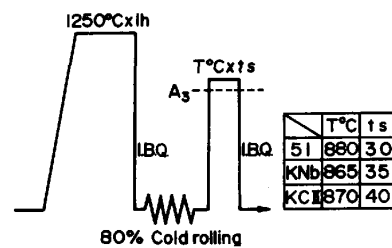


Fig.1 Schematic diagram of the thermo-mechanical treatment of steels.

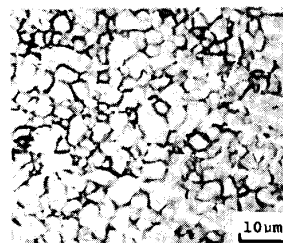


Photo.1 Optical microstructure of the specimen quenched from the temperature just above A_3 point. I.B.Q. Steel KNb 865°Cx35s.

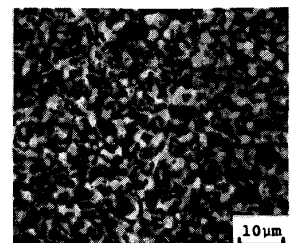


Photo.2 Optical microstructure of the specimen quenched from (α + γ) field after holding 30min. Steel KNb 740°Cx30min. I.B.Q.

Strain rate ($\dot{\epsilon}$ /min)	T(°C)	Specimen	elongation (%)
0 (untested)	—	G.L.-10mm	—
5×10^{-3}	790		738
1×10^{-2}	780		680
5×10^{-1}	800		300

Fig.2 Specimens of steel KNb after testing to failure.